

$\Delta I \Delta \pi = 2^+, 1^-, 0^-$  (запрещены переходы  $0 \rightarrow 0, 0 \leftrightarrow 1, \frac{1}{2} \rightarrow \frac{1}{2}$ ). Матричные элементы  $\int \gamma_5$  и  $\int \alpha$  имеют порядок малости ( $v_N/c$ ). Для матричных элементов, содержащих величину  $r$ , естественно ожидать малости порядка  $pR/\hbar \ll \mathcal{E}_0 R/\hbar c$ . Однако это справедливо только для уникальных переходов. Для остальных матричных элементов в случае, когда заряд ядра  $Z$  удовлетворяет условию  $\xi = (Ze^2/R\mathcal{E}_0) \gg 1$ , кулоновские эффекты приводят к возрастанию волновой ф-ции электрона внутри ядра, вследствие чего эти матричные элементы имеют порядок малости  $Z/137$ , а не  $pR/\hbar$ . Условие  $\xi \gg 1$  выполняется для большинства  $\beta$ -переходов.

С ростом порядка запрета кол-во матричных элементов, определяющих вероятность перехода, увеличивается и трудность анализа эксперим. данных возрастает; при этом сами матричные элементы убывают по порядку величины. Правила отбора при  $\beta$ -переходах  $n$ -го порядка запрета:  $\Delta \pi = (-1)^n, \Delta I \leq n$  для обычных переходов и  $\leq n+1$  для уникальных переходов.

С ростом  $n$  и уменьшением матричных элементов величина  $f T_{1/2}$  возрастает. Хотя диапазон её изменения уже, чем для  $T_{1/2}$ , он всё же очень велик; поэтому принято характеризовать  $\beta$ -переходы величиной  $\lg f T_{1/2}$  (табл. 2).

В сочетании с правилами отбора анализ величин  $f T_{1/2}$  позволяет определить неизвестные значения ядерных спинов и чётности, т. е. является одним из важных методов ядерной спектроскопии. Т. к. величины  $f T_{1/2}$  непосредственно связаны с матричными элементами  $\beta$ -переходов, то они содержат информацию о ядерной структуре.

Табл. 2. — Правила отбора для  $\beta$ -переходов различных типов

Тип перехода	Правила отбора	$\lg f T_{1/2}$	$\lg f_n T_{1/2}$
Разрешённые сверхразрешённые затруднённые . . .	$\{\Delta I=0, 1$ $\Delta \pi=+1$	$3.5 \pm 0.2$ $5.7 \pm 1.1$	
Запрещённые первого запрета . . .	$\Delta I=1, 0,$ $\Delta \pi=-1$	$7.5 \pm 1.5$	
уникальные первого запрета . . .	$\Delta I=2,$ $\Delta \pi=-1$		$8.5 \pm 0.7$
второго запрета . . .	$\Delta I=2,$ $\Delta \pi=+1$		
уникальные второго запрета . . .	$\Delta I=3,$ $\Delta \pi=+1$	$12.1 \pm 1.0$	
третьего запрета . . .	$\Delta I=3,$ $\Delta \pi=-1$		$11.7 \pm 0.9$
уникальные третьего запрета . . .	$\Delta I=4,$ $\Delta \pi=-1$	$18.2 \pm 0.6$	
четвёртого запрета	$\Delta I=4,$ $\Delta \pi=+1$	$22.7 (^{115}\text{In})$	$15.2 (^{40}\text{K})$

$\beta$ -спектры экспериментально исследуются, как правило, с помощью бета-спектрометров. В случае разрешённых переходов  $\beta$ -спектры описываются выражением:

$$N(\mathcal{E}) d\mathcal{E} \sim F(Z, \mathcal{E}) p \mathcal{E} (\mathcal{E}_0 - \mathcal{E})^2 d\mathcal{E}. \quad (12)$$

Для исследования  $\beta$ -спектров удобно пользоваться т. н. графиками Кюри, к-рые изображают зависимость величины  $K = [N(\mathcal{E})/F(Z, \mathcal{E}) p \mathcal{E}]^{1/2}$  от  $\mathcal{E}$ . Для разрешённых переходов график Кюри имеет вид отрезка прямой, пересекающей ось абсцисс в точке  $\mathcal{E} = \mathcal{E}_0$  (рис. 4). Отличие перехода от разрешённого приводит к нарушению линейности. Бета-спектры запрещённых переходов могут значительно отличаться от разрешённых спектров из-за наличия зависящих от энергии членов в матричном элементе. Этот эффект обычно учитывается введением в правую часть выражения (12) зависящего от энергии множителя  $S(\mathcal{E})$  (т. н. спектрального формфактора). Для уникальных переходов 1-го запрета (в пренебрежении кулоновскими эффектами):

$$S \sim [(\mathcal{E}^2 - m_e c^2)^2 + (\mathcal{E}_0 - \mathcal{E})^2]. \quad (13)$$

Уникальные переходы 1-го запрета часто характеризуют не величинами  $f T_{1/2}$ , а  $f_n T_{1/2}$ , где  $f_n$  определяется ф-лой вида (9б), в подынтегральное выражение

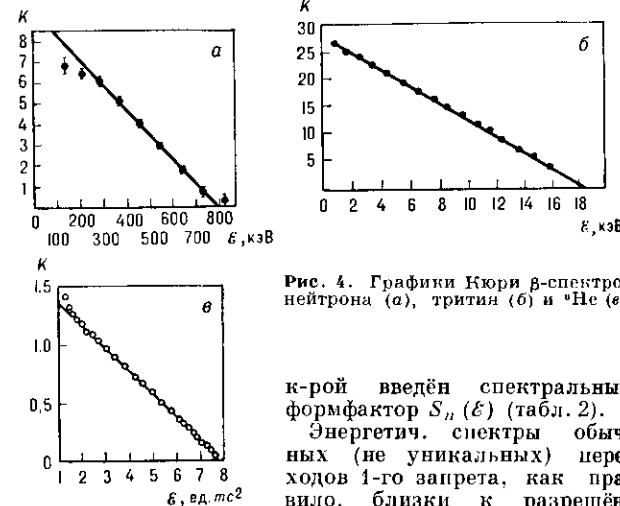


Рис. 4. Графики Кюри  $\beta$ -спектров нейтрона (a), трития (b) и  ${}^3\text{He}$  (c).

к-рой введен спектральный формфактор  $S_n(\mathcal{E})$  (табл. 2).

Энергетич. спектры обычных (не уникальных) переходов 1-го запрета, как правило, близки к разрешён-

ным. Матричные элементы  $\int \gamma_5$  и  $\int \alpha$  практически не содержат зависимости от энергии лептонов; для матричных элементов  $\int r, \int (\sigma r)$  и  $\int [\sigma r]$  в случае  $\xi \gg 1$  из-за кулоновских эффектов спектральный формфактор не зависит от энергии. Исключение составляют нек-рые  $\beta$ -переходы 1-го запрета, в к-рых главные, не зависящие от энергии члены в матричном элементе взаимно сокращаются и малые поправки, зависящие от энергии, начинают играть существ. роль. Такая ситуация реализуется, напр., в случае  $\beta$ -распада  ${}^{210}\text{Bi}$  (RaE, рис. 5).

Во многих случаях Б.-р. происходит не в одно к.-л. состояние дочернего ядра, а в два или неск. состояний; при этом экспериментально наблюдаемый  $\beta$ -спектр складывается из двух или неск. парциальных спектров с разл. значениями граничных энергий. Такие  $\beta$ -спектры наз. сложными. Исследование  $\beta$ -спектров вблизи  $\mathcal{E}_0$  позволяет получить информацию о  $m_v$ . Если  $m_v \neq 0$ , то спектр разрешённых переходов должен отличаться от (12) и даётся ф-лой:

$$N(\mathcal{E}) d\mathcal{E} \sim F(Z\mathcal{E}) p \mathcal{E} (\mathcal{E}_0 - \mathcal{E}) [(\mathcal{E}_0 - \mathcal{E})^2 - (m_v c^2)^2]^{1/2}, \quad (14)$$

из к-рой следует, что форма спектра вблизи  $\mathcal{E}_0$  существенно зависит от  $m_v$ . Отличие  $m_v$  от 0 приводит к отклонению графика Кюри в области  $\mathcal{E}_0$  от линейного. Для определения  $m_v$  необходимо сравнить график Кюри с рассчитанными при разных значениях  $m_v$  зависимостями  $K(\mathcal{E})$ . Исследования  $\beta$ -спектра  ${}^3\text{H}$  ( $\mathcal{E}_0 = -18.61$  кэВ) дали  $m_v < 35$  эВ/с<sup>2</sup>. Результаты, полу-

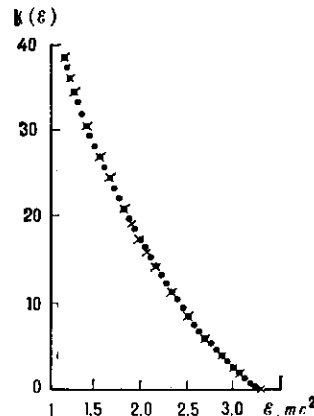


Рис. 5. График Кюри для  $\beta$ -распада RaE.